

ВЗАИМОДЕЙСТВИЯ ИЗЛУЧЕНИЯ И ЧАСТИЦ С КОНДЕНСИРОВАННЫМ ВЕЩЕСТВОМ

PACS numbers: 61.05.cc, 61.05.cf, 61.05.cp, 61.72.Dd, 61.72.Qq, 68.65.Ac

Статистична теоретична модель динамічної Бреггової дифракції в двошаровій кристалічній системі з аморфним поверхневим шаром

С. В. Дмитрієв, С. В. Лізунова, М. Г. Толмачов*, Б. В. Шелудченко,
О. С. Скакунова, В. Б. Молодкін, В. В. Лізунов, І. Е. Голентус,
А. Г. Карпов*, О. Г. Войток*, В. П. Почекуєв*, С. П. Репецький**,
І. Г. Вишивана**, Л. М. Скапа, О. В. Барабаш**, Г. О. Веліховський

*Институт металлофизики им. Г. В. Курдюмова НАН Украины,
бульв. Акад. Вернадського, 36,
03142 Київ, Україна*

**ТОВ «Центр новітньої діагностики»,
бульв. Академіка Вернадського, 36,
03142 Київ, Україна*

***Київський національний університет імені Тараса Шевченка,
вул. Володимирська, 60,
01033 Київ, Україна*

З метою створення статистичної динамічної теорії розсіяння випромінювання у багатошарових системах з різними за недосконалостями структури

Corresponding author: Serhiy Vasyl'ovych Dmitriev
E-mail: dsv2003@ukr.net

*G. V. Kurdyumov Institute for Metal Physics, N.A.S. of Ukraine,
36 Academician Vernadsky Blvd., UA-03142 Kyiv, Ukraine*

**LLC 'Centre of Advanced Diagnostics',
36 Academician Vernadsky Blvd., UA-03142 Kyiv, Ukraine*

***Taras Shevchenko National University of Kyiv,
60 Volodymyrska Str., UA-01033 Kyiv, Ukraine*

Please cite this article as: S. V. Dmitriev, S. V. Lizunova, M. G. Tolmachev, B. V. Sheludchenko, O. S. Skakunova, V. B. Molodkin, V. V. Lizunov, I. E. Golentus, A. G. Karpov, O. G. Voitok, V. P. Pochekuev, S. P. Repetsky, I. G. Vyshyvana, L. M. Skapa, O. V. Barabash, and G. O. Velikhovskii, Statistical Theoretical Model of Dynamical Bragg Diffraction in a Two-Layer Crystalline System with an Amorphous Surface Layer, *Metallofiz. Noveishie Tekhnol.*, **39**, No. 12: 1669–1691 (2017) (in Ukrainian), DOI: 10.15407/mfint.39.12.1669.

та складом кристалічними й аморфними шарами в якості найбільш загального та головного елементу такої теорії побудовано узагальнену теоретичну модель когерентного розсіюння в двошаровій кристалічній системі з аморфним поверхневим шаром і статистично розподіленими дефектами Кулонового типу в кожному шарі. Одержано вирази для когерентної складової відбивної здатності вказаної системи з використанням двох методів: методу підсумовування амплітуд і методу крайових умов, що уможливило встановити й описати механізм формування інтенсивності за рахунок ефектів багаторазовості розсіюння. Проведено аналіз одержаних результатів та їх адаптацію до деяких практично важливих випадків.

Ключові слова: динамічна дифракція, багаторазовість розсіюння, аморфний поверхневий шар.

For the goal of the creating of statistical dynamical theory of x-ray scattering in multilayer systems of crystalline and amorphous layers with differences in both the structure imperfections and the composition, as a main element of such a theory, the generalized theoretical model of coherent scattering in two-layer crystalline system with amorphous subsurface layer and statistically distributed Coulomb-type defects in each layer is developed. The expressions for coherent component of mentioned-system reflectivity are obtained using two methods: the method of amplitudes' summation and the method of boundary conditions. That allows revealing and describing the mechanism of intensity formation due to effects of multiple scattering.

Key words: dynamical diffraction, multiple scattering, amorphous surface layer.

С целью создания статистической динамической теории рассеяния излучения в многослойных системах с различными по несовершенствам структуры и составу кристаллическими и аморфными слоями в качестве наиболее общего и главного элемента такой теории построена обобщённая теоретическая модель когерентного рассеяния в двухслойной кристаллической системе с аморфным поверхностным слоем и статистически распределёнными дефектами кулоновского типа в каждом слое. Получены выражения для когерентной составляющей отражательной способности указанной системы с использованием двух методов: метода суммирования амплитуд и метода граничных условий, что позволило выявить и описать механизм формирования интенсивности за счёт эффектов многократности рассеяния.

Ключевые слова: динамическая дифракция, многократность диффузного рассеяния, аморфный поверхностный слой.

(Отримано 4 вересня 2017 р.)

1. ВСТУП

В сучасному матеріалознавстві значну роль відіграють композитні матеріали, що складаються з кількох різних за фізичними власти-

востями шарів, зокрема, кристалічні двошарові структури, а також структури, що містять аморфний шар.

Рентгенодифракційні методи досліджень багат шарових структур [1, 2] мають цілу низку важливих з точки зору практики переваг. Такі методи є не руйнуючими, що принципово важливо у випадках, коли руйнування (щавлення) може призвести до перерозподілу чи зникнення деформацій вихідного зразка, що унеможлиблює відтворення початкової структури. Також рентгенодифракційні методи є високоінформативними і дозволяють виявляти надзвичайно малі деформації (коли відносна зміна відстані між відбивальними площинами кристалу має величину порядку 10^{-5} – 10^{-6} [3]) і дефекти невеликих розмірів і концентрацій [4, 5]. Крім того, за наявності коректної теоретичної моделі можна адаптувати її до таких експериментальних схем, які дозволяють проводити експресну діагностику без втрати якості [4, 5]. Створення головної складової саме такої статистичної моделі, що враховує повністю всі ефекти багатократності розсіяння, і передбачається у представленій роботі.

2. РОЗСІЯННЯ В АМОРФНОМУ ПОГЛИНАЛЬНОМУ ШАРІ

Розглянемо розсіяння випромінювання в аморфній пласкопаралельній пластині (рис. 1). Будемо вважати, що сприйнятливість в аморфному шарі є в середньому постійною. Інтенсивність хвилі, що пройшла крізь шар з постійною сприйнятливістю можна записати у вигляді:

$$I = I_0 e^{-\mu_0 l_{\text{ам}}}, \quad (1)$$

де I_0 — інтенсивність падаючого з вакууму на шар випромінювання, μ_0 — коефіцієнт фотоелектричного поглинання, $l_{\text{ам}} = t_{\text{ам}}/\gamma_0$ — довжина шляху променю в аморфному шарі, $t_{\text{ам}} = t_2 - t_1$ — товщина шару, $\gamma_0 = K_n/K = \sin\theta_a$, θ_a — кут падіння хвилі на аморфну пластину.

Однак для розгляду амплітуд в багат шаровій системі необхідно мати вираз не для інтенсивності, а для амплітуди хвилі на обох поверхнях аморфного шару. Представимо сприйнятливість аморфного шару $\chi_a(\mathbf{r})$ і амплітуду індукції в ньому $\mathbf{D}_a(\mathbf{r})$ у вигляді інтегралів Фур'є:

$$\chi_a(\mathbf{r}) = \int_{\Omega} d\mathbf{k} \chi_{\mathbf{k}a} e^{-i\mathbf{k}\mathbf{r}}, \quad (2)$$

$$\mathbf{D}_a(\mathbf{r}) = \int_{\Omega} d\mathbf{k} \mathbf{D}_{\mathbf{k}a} e^{-i\mathbf{k}\mathbf{r}}, \quad (3)$$

де $\chi_{\mathbf{k}a} = (2\pi)^{-3} \int_V d\mathbf{r} \chi_a(\mathbf{r}) e^{i\mathbf{k}\mathbf{r}}$, $\mathbf{D}_{\mathbf{k}a} = (2\pi)^{-3} \int_V d\mathbf{r} \mathbf{D}_a(\mathbf{r}) e^{i\mathbf{k}\mathbf{r}}$, V , Ω — об'єми

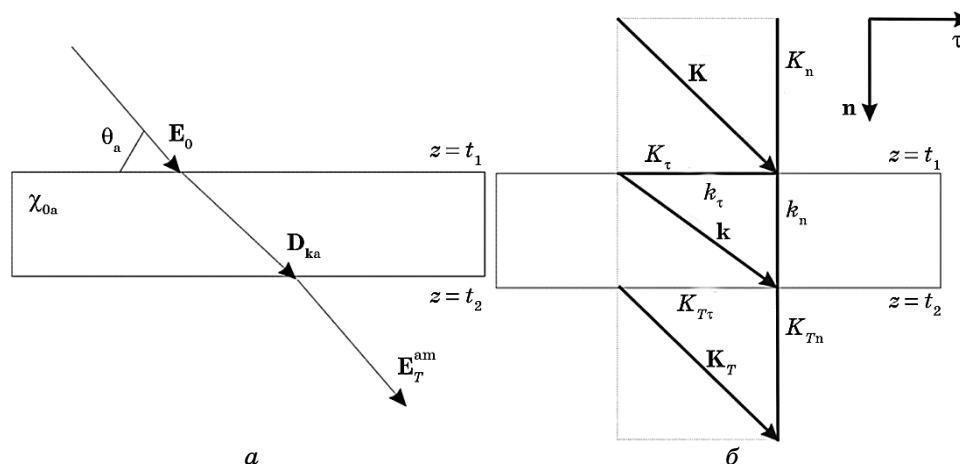


Рис. 1. Схема розсіяння в плоскопаралельній аморфній пластині (а) і схема відповідних хвильових векторів (б).

Fig. 1. Scheme of scattering in parallel-sided amorphous plate (a) and scheme of corresponding wave vectors (b).

прямого і оберненого просторів відповідно. Для вирішення задачі розсіяння Рентгенових променів в середовищі розглянемо рівняння для амплітуд:

$$\Delta \mathbf{D}_a(\mathbf{r}) + K^2 \mathbf{D}_a(\mathbf{r}) + \text{rot rot}(\chi_a(\mathbf{r}) \mathbf{D}_a(\mathbf{r})) = 0, \quad (4)$$

де $K = 2\pi/\lambda$ — модуль хвильового вектору падаючої хвилі у вакуумі, λ — довжина хвилі падаючого випромінювання. Підставивши (2) і (3) в (4) одержимо:

$$(K^2 - k^2) \mathbf{D}_{ka} - \int_{\Omega} d\mathbf{q} \chi_{qa} (\mathbf{k} \times \mathbf{k} \times \mathbf{D}_{k-qa}) = 0. \quad (5)$$

Враховуючи, що ця стаття обмежується лише розглядом когерентної складової розсіяння (перший етап), то в аморфному шарі $\chi_a(\mathbf{r}) = \chi_{0a} = \text{const}$ і для Фур'є-компоненти χ_{qa} одержимо:

$$\chi_{qa} = \frac{1}{(2\pi)^3} \int_V d\mathbf{r} \chi_a(\mathbf{r}) e^{i\mathbf{q}\mathbf{r}} = \frac{\chi_{0a}}{(2\pi)^3} \int_V d\mathbf{r} e^{i\mathbf{q}\mathbf{r}} = \chi_{0a} \delta(\mathbf{q}).$$

Таким чином, для кожного стану поляризації з (5) одержимо:

$$(K^2 - k^2) D_{ka} + \chi_{0a} k^2 D_{ka} = 0. \quad (6)$$

У випадку $D_{ka} \neq 0$ з (6) одержимо:

$$(K^2 - k^2) + \chi_{0a} k^2 = 0. \quad (7)$$

Рівняння (7) є дисперсійним рівнянням для визначення хвильових векторів \mathbf{k} в середовищі. Враховуючи, що для Рентгенових променів $|\chi_{0a}| \ll 1$, з (7) можна одержати:

$$k = K(1 + \chi_{0a}/2). \quad (8)$$

Константа χ_{0a} в (8) є комплексною, її можна представити у вигляді:

$$\chi_{0a} = \chi_{0r a} + i\chi_{0i a}. \quad (9)$$

Слід зазначити, що $\chi_{0r a}, \chi_{0i a} < 0$.

Для знаходження амплітуди хвилі (у вакуумі), що пройшла крізь шар, скористаємось відповідними крайовими умовами:

$$D_{ka} e^{-ikr} = E_0 e^{-iKr} \Big|_{z=t_1}, \quad (10)$$

$$E_T^{\text{am}} e^{-iK_T r} = D_{ka} e^{-ikr} \Big|_{z=t_2}. \quad (11)$$

Розкладемо хвильові вектори в вакуумі та в пластині на тангенційну і нормальну складові:

$$\mathbf{K} = K_\tau \mathbf{e}_\tau + K_n \mathbf{e}_n, \quad (12)$$

$$\mathbf{k} = k_\tau \mathbf{e}_\tau + k_n \mathbf{e}_n. \quad (13)$$

Оскільки тангенційні компоненти хвильових векторів на вхідній поверхні мають збігатися (див. рис. 1, б), то

$$\mathbf{K} = \mathbf{k} + (K_n - k_n) \mathbf{e}_n. \quad (14)$$

З (8) можна одержати:

$$K_n - k_n \approx -K \frac{\chi_{0a}}{2\gamma_0}. \quad (15)$$

Підставляючи (15) в (14), одержимо взаємозв'язок хвильових векторів в середовищі і вакуумі:

$$\mathbf{K} = \mathbf{K}_T = \mathbf{k} - K \frac{\chi_{0a}}{2\gamma_0} \mathbf{n}. \quad (16)$$

Рівність хвильових векторів $\mathbf{K} = \mathbf{K}_T$ впливає з того, що $|\mathbf{K}| = |\mathbf{K}_T|$ і $K_\tau = K_{T\tau}$.

Підставивши (16) в (10) та (11), одержимо:

$$D_{\text{ка}} = E_0 e^{iKt_1\chi_{0a}/(2\gamma_0)}, \quad (17)$$

$$E_T^{\text{ам}} = D_{\text{ка}} e^{-iKt_2\chi_{0a}/(2\gamma_0)}. \quad (18)$$

Враховуючи (9) і (17), для (18) остаточно одержимо:

$$E_T^{\text{ам}} = E_0 e^{-iKt_{\text{ам}}\chi_{0a}/(2\gamma_0)} = E_0 e^{-iKt_{\text{ам}}\chi_{0r a}/(2\gamma_0)} e^{-i\mu_{0a}t_{\text{ам}}/(2\gamma_0)}, \quad (19)$$

де $\mu_{0a} = K|\chi_{0i a}|$. Як видно з (19), для інтенсивності $|E_T^{\text{ам}}|^2$ одержимо (1). Отже, використовуючи загальний динамічний підхід, що базується на розв'язку рівняння (4), можна одержати не лише (1), а також класичний результат, який враховує заломлення і поглинання в пласкопаралельній аморфній однорідній пластині.

3. РОЗСІЯННЯ В ДВОШАРОВІЙ АМОΡФНІЙ СИСТЕМІ

Розглянемо розсіяння в системі, що складається з двох аморфних шарів а і б (рис. 2). Інтенсивність випромінювання, яке пройшло крізь таку систему, можна записати аналогічно до (1). Однак у випадку, коли на кристалічній підкладці знаходяться два аморфні шари, або один шар з неоднорідним за глибиною розподілом сприйнятливості, необхідно мати вираз для амплітуди хвилі, що пройшла через кілька аморфних шарів. Крім того, результати розгляду такої системи можуть бути використані для узагальнення моделі розсіяння в некристалічних об'єктах на випадки неоднорідного за глибиною потенціалу.

Розв'язуючи рівняння (4) в кожному шарі двошарової системи,

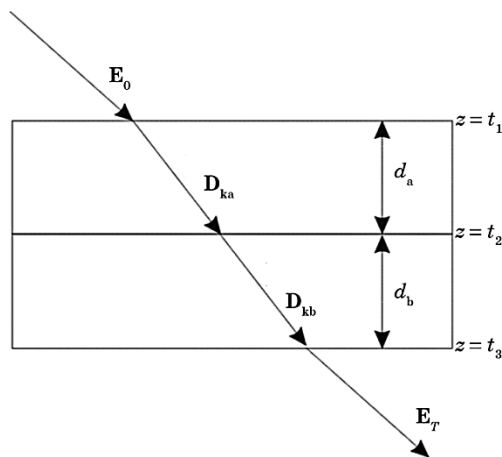


Рис. 2. Схема розсіяння в двошаровій аморфній системі.

Fig. 2. Scheme of scattering in two-layer amorphous system.

можна одержати дисперсійні рівняння, подібні до (7), куди входить сприйнятливість відповідного шару. З урахуванням рівності тангенціальних компонент хвильових векторів на межах шарів, а також використовуючи дисперсійні рівняння, аналогічно до попереднього розгляду можна одержати наступний взаємозв'язок між хвильовими векторами падаючої і заломленої в шарі а хвиль:

$$\mathbf{K} = \mathbf{k}_a - K \frac{\chi_{0a}}{2\gamma_0} \mathbf{n}. \quad (20)$$

Зв'язок між хвильовим вектором \mathbf{K}_T хвилі, що пройшла крізь двошарову систему, та хвильовим вектором в шарі b, з урахуванням принципу взаємності можна одержати шляхом, аналогічним до одержання (20):

$$\mathbf{K}_T = \mathbf{k}_b - K \frac{\chi_{0b}}{2\gamma_0} \mathbf{n}. \quad (21)$$

Враховуючи, що аналогічно до (16) $\mathbf{K} = \mathbf{K}_T$, для хвильових векторів в шарах а та b матимемо:

$$\mathbf{k}_a - K \frac{\chi_{0a}}{2\gamma_0} \mathbf{n} = \mathbf{k}_b - K \frac{\chi_{0b}}{2\gamma_0} \mathbf{n}. \quad (22)$$

Напишемо відповідні крайові умови (див. рис. 2):

$$D_{ka} e^{-ik_a r} = E_0 e^{-iKr} \Big|_{z=t_1}, \quad (23)$$

$$D_{kb} e^{-ik_b r} = D_{ka} e^{-ik_a r} \Big|_{z=t_2}, \quad (24)$$

$$E_T e^{-iK_T r} = D_{kb} e^{-ik_b r} \Big|_{z=t_3}. \quad (25)$$

Підставляючи (20) в (23), одержимо:

$$D_{ka} = E_0 e^{iK(\chi_{0a}/2\gamma_0)t_1}. \quad (26)$$

З (24) з урахуванням (22) матимемо:

$$D_{kb} = D_{ka} \exp \left(iK \left(\frac{\chi_{0b}}{2\gamma_0} - \frac{\chi_{0a}}{2\gamma_0} \right) t_2 \right). \quad (27)$$

Підставляючи (21), (26) і (27) в (25), для амплітуди хвилі, що пройшла двошарову аморфну систему, одержимо:

$$E_T = E_0 \exp \left(-iK \frac{\chi_{0a}}{2\gamma_0} d_a \right) \exp \left(-iK \frac{\chi_{0b}}{2\gamma_0} d_b \right), \quad (28)$$

де $d_a = t_2 - t_1$, $d_b = t_3 - t_2$ — товщини відповідних шарів.

Одержаний результат легко узагальнити на випадок системи, що складається з N аморфних шарів:

$$E_T^{(N)} = E_0 \exp\left(-i \frac{K}{2\gamma_0} \sum_{j=1}^N \chi_{0j} d_j\right). \quad (29)$$

З (29) граничним переходом $d_j \rightarrow 0$ одержимо вираз для неперервного за глибиною неоднорідного розподілу сприйнятливості $\chi_{0a}(z)$:

$$E_T^{(N)} = E_0 \exp\left(-i \frac{K}{2\gamma_0} \int_0^{t_{am}} \chi_{0a}(z) dz\right). \quad (30)$$

4. РОЗСІЯННЯ В МОНОКРИСТАЛІЧНІЙ ПЛАСКОПАРАЛЕЛЬНІЙ ПЛАСТИНІ

Для подальшого розгляду розсіяння в двошаровій системі, що включає в себе один (або кілька) кристалічних шарів, необхідно привести основні результати динамічної теорії когерентного розсіяння в пласкопаралельній пластині.

Амплітуди хвиль в кристалі можна знайти з основної системи динамічних рівнянь для випадку двохвильової дифракції [6]:

$$\begin{cases} (-2\varepsilon_0 + \chi_0)D_0 + C\chi_{-H}D_H = 0, \\ C\chi_H D_0 + (-2\varepsilon_H + \chi_0)D_H = 0, \end{cases} \quad (31)$$

де D_0 , D_H — амплітуди прямої і дифрагованої хвиль, χ_0 , χ_H — Фур'є-компоненти сприйнятливості кристалу, C — поляризаційний множник ($C = 1$, $\cos(2\theta_B)$ для σ - та π -поляризації відповідно, θ_B — кут Бреґґа), ε_0 , ε_H — похибки збудження.

З умови існування нетривіального розв'язку системи рівнянь (31) можна одержати наступне дисперсійне рівняння для знаходження помилок збудження:

$$(-2\varepsilon_0 + \chi_0)(-2\varepsilon_H + \chi_0) - C^2 \chi_H \chi_{-H} = 0. \quad (32)$$

Враховуючи, що

$$\varepsilon_H = \varepsilon_0 \gamma_H / \gamma_0 - \alpha, \quad (33)$$

де γ_0 і γ_H — направляючі косинуси падаючого і дифрагованого променів відповідно,

$$\alpha = \Delta\theta \sin(2\theta_B), \quad (34)$$

$\Delta\theta$ — кутове відхилення напрямку падаючої хвилі від напрямку, що точно задовольняє умові Вульфа–Брегга, з (32) можна одержати:

$$\varepsilon_0^\delta = \gamma_0 \Delta_\delta, \quad (35)$$

$$\Delta_\delta = \frac{\chi_0}{2\gamma_0} + \frac{\lambda}{2\Lambda} \left[y + (-1)^\delta \sqrt{y^2 - 1} \right], \quad (36)$$

де довжина екстинкції

$$\Lambda = \lambda \sqrt{\gamma_0 |\gamma_H|} / \sigma, \quad (37)$$

$$y = -(\alpha + \alpha_0) \sqrt{b} / \sigma, \quad (38)$$

$$\sigma^2 = C^2 \chi_H \chi_{-H}, \quad \alpha_0 = (\chi_0/2)(1 + 1/b), \quad b = \gamma_0 / |\gamma_H|, \quad \delta = 1, 2.$$

Враховуючи (33), (35) і (36), з будь-якого з рівнянь системи (31) можна одержати:

$$D_H^\delta = c_\delta D_0^\delta, \quad (39)$$

$$c_\delta = \sqrt{b\zeta} (y + (-1)^\delta \sqrt{y^2 - 1}), \quad (40)$$

де $\zeta = (\chi_H / \chi_{-H})^{1/2}$.

Для знаходження амплітуд D_0^δ , D_H^δ необхідно використати крайові умови, які пов'язують між собою амплітуди хвиль в кристалі і вакуумі (в геометрії дифракції за Бреггом):

$$\sum_{\delta} D_0^\delta e^{-i\mathbf{K}_0^\delta \mathbf{r}} = E_0 e^{-i\mathbf{K} \mathbf{r}} \Big|_{z=t_1}, \quad (41)$$

$$\sum_{\delta} D_H^\delta e^{-i\mathbf{K}_H^\delta \mathbf{r}} = 0 \Big|_{z=t_2}. \quad (42)$$

Хвильові вектори прямої і дифрагованої хвиль в кристалі пов'язані з відповідними хвильовими векторами падаючої і дифрагованої хвиль у вакуумі співвідношеннями:

$$\mathbf{K}_0^\delta = \mathbf{K} + K(\varepsilon_0^\delta / \gamma_0) \mathbf{n} = \mathbf{K} + K \Delta_\delta \mathbf{n}, \quad (43)$$

$$\mathbf{K}_H^\delta = \mathbf{K}'_H + K(\varepsilon_H^\delta / \gamma_H) \mathbf{n} = \mathbf{K}'_H + K(\Delta_\delta - \alpha / \gamma_H) \mathbf{n}, \quad (44)$$

де \mathbf{n} — внутрішня нормаль до поверхні кристалу, \mathbf{K}'_H — хвильовий вектор дифрагованої хвилі у вакуумі. З урахуванням (39), (43) і (44) з (41) і (42) матимемо:

$$\begin{cases} D_0^{(1)} e^{-iK\Delta_1 t_1} + D_0^{(2)} e^{-iK\Delta_2 t_1} = E_0, \\ c_1 D_0^{(1)} e^{-iK\Delta_1 t_2} + c_2 D_0^{(2)} e^{-iK\Delta_2 t_2} = 0. \end{cases} \quad (45)$$

З системи рівнянь (45) для амплітуд $D_0^{(1)}$ і $D_0^{(2)}$ можна одержати:

$$D_0^\delta = (-1)^\delta E_0 \frac{c_{\delta'} e^{-iK\Delta_{\delta'} d}}{c_1 e^{-iK\Delta_1 d} - c_2 e^{-iK\Delta_2 d}} e^{iK\Delta_\delta t_1}, \quad (46)$$

$\delta \neq \delta'$, $d = t_2 - t_1$. Для знаходження амплітуди дифрагованої хвилі у вакуумі необхідно використати відповідну крайову умову:

$$\sum_{\delta} D_{\text{H}}^\delta e^{-iK_{\text{H}}^\delta r} = E_{\text{S}} e^{-iK_{\text{H}} r} \Big|_{z=t_1}, \quad (47)$$

звідки з урахуванням (39) і (44):

$$E_{\text{S}} = \eta(t_1) \sum_{\delta} c_{\delta} D_0^\delta e^{-iK\Delta_\delta t_1} = E_0 \eta(t_1) b \zeta \frac{e^{-iK\Delta_1 d} - e^{-iK\Delta_2 d}}{c_1 e^{-iK\Delta_1 d} - c_2 e^{-iK\Delta_2 d}}, \quad (48)$$

де

$$\eta(t_1) = \exp(iK\alpha t_1 / \gamma_{\text{H}}). \quad (49)$$

Для амплітудного коефіцієнта відбивання можна записати:

$$r_{\text{H}}(t_1) = \frac{E_{\text{S}}}{\sqrt{b} E_0} = \eta(t_1) \sqrt{b} \zeta \frac{e^{-iK\Delta_1 d} - e^{-iK\Delta_2 d}}{c_1 e^{-iK\Delta_1 d} - c_2 e^{-iK\Delta_2 d}}. \quad (50)$$

В наближенні напівнескінченного кристалу формула (50) прийме вигляд:

$$r_{\text{H}}(t_1) = \eta(t_1) (y - \text{sgn}(\text{Re}(y)) \sqrt{y^2 - 1}). \quad (51)$$

Відбивну здатність можна обчислити за допомогою виразу:

$$R_{\text{coh}}(\Delta\theta) = |r_{\text{H}}(t_1)|^2. \quad (52)$$

Використовуючи крайову умову для хвилі, що пройшла крізь плоскопаралельну пластину

$$\sum_{\delta} D_0^\delta e^{-iK_{\delta}^\delta r} = E_{\text{T}} e^{-iK r} \Big|_{z=t_2},$$

з урахуванням (43) і (46), можна одержати вираз для коефіцієнта проходження:

$$r_0 = \frac{E_T}{E_0} = e^{-iK(\Delta_1 + \Delta_2)d} \frac{c_1 - c_2}{c_1 e^{-iK\Delta_1 d} - c_2 e^{-iK\Delta_2 d}}. \quad (53)$$

Для врахування статистично розподілених дефектів необхідно у формулах (31)–(53) зробити заміни [7]:

$$\begin{aligned} C\chi_H &\rightarrow CE\chi_H + \Delta\chi_{H0}, \\ C\chi_{-H} &\rightarrow CE\chi_{-H} + \Delta\chi_{0H}, \\ \chi_0 &\rightarrow \chi_0 + \Delta\chi_{00}, \end{aligned}$$

де $\Delta\chi_{00}$, $\Delta\chi_{0H}$ і $\Delta\chi_{H0}$ — дисперсійні поправки до сприйнятливостей за рахунок дифузного розсіяння за наявності в кристалі дефектів. Можна покласти $\Delta\chi_{00} \approx -i\mu_{ds}/K$, $\Delta\chi_{0H} = \Delta\chi_{H0} \approx 0$, де μ_{ds} — коефіцієнт екстинкції за рахунок дифузного розсіяння, E — Кривоглазів фактор (статичний фактор Дебая–Валлера) [8].

При цьому слід відмітити, що у випадку кристалу з дефектами, крім когерентного розсіяння (52) з врахуванням екстинкції (μ_{ds}), також необхідно враховувати безпосередній внесок від самого дифузного розсіяння у відбивну здатність (ці результати будуть представлені в окремій роботі).

Розглянемо кінематичне наближення ($d \ll \Lambda$) виразів (50) і (53). Одержимо асимптотичне значення виразу (48) при $t \rightarrow 0$. В такому випадку при $|y| \gg 1$ $c_1 \rightarrow 0$, $c_2 \rightarrow 2y(b\zeta)^{1/2}$, і в результаті вираз (49) зводиться до:

$$E_H^{\text{kin}} = E_0 \eta(t_1) \sqrt{b\zeta} \frac{1 - e^{2iA_k y}}{2y}, \quad (54)$$

$A_k = \pi d / \Lambda$. У випадку $|y| \sim 1$ у (48) можна провести розклад експонент за малим параметром d . Розклавши вказаний вираз з точністю до другого порядку малости d^2 , одержимо:

$$E_H^{\text{kin}} = -E_0 \eta(t_1) \frac{\sqrt{b\zeta}}{2y} (2iA_k y + (2iA_k y)^2 / 2). \quad (55)$$

Враховуючи, що при $x \rightarrow 0$ $e^x - 1 \approx x + x^2/2$, вираз (55) зводиться до (54). Отже, у всьому діяпазоні зміни y вираз для динамічної амплітуди дифрагованої хвилі (48) зводиться до кінематичної амплітуди дифрагованої хвилі з врахуванням поглинання і заломлення (54) при граничному переході $d \rightarrow 0$.

Вираз (53) при $|y| \gg 1$ зводиться до (19). При $|y| \sim 1$ і $d \rightarrow 0$ (53) в першому порядку малости по d зводиться до (19), тоді як в другому порядку по d з'являється екстинкційний доданок. Однак такий доданок неправильно поширювати на весь кутовий діяпазон, оскільки він діє лише поблизу Бреггівського кута. Тому, у виразі (53) можна

розкласти в ряд лише експоненти, що містять Δ_1 , тоді як показники експонент з Δ_2 будуть невеликими при $|y| \gg 1$, і їх неможна розкласти в ряд по d . Враховуючи сказане, для врахування впливу ефектів екстинкції на пряму хвилю за рахунок перетікання частини інтенсивності в дифрагований промінь доцільно користуватись загальним виразом (53).

5. РОЗСІЯННЯ В ДВОШАРОВІЙ СИСТЕМІ З АМОРФНИМ І КРИСТАЛІЧНИМ ШАРАМИ

Розглянемо розсіяння в двошаровій системі, що складається з поверхневого аморфного шару і монокристалічної підкладки (рис. 3).

Напишемо крайову умову на вхідній поверхні:

$$D_{ka} e^{-ikr} = E_0 e^{-iKr} \Big|_{z=t_1}. \quad (56)$$

Зв'язок між хвильовими векторами в вакуумі і в середовищі визначається виразом (16). Підставляючи (16) в (56), одержимо (17).

Напишемо крайову умову для падаючої хвилі на межі між аморфним шаром і кристалом:

$$\sum_{\delta} D_{0c}^{(\delta)} e^{-iK_{c0}^{(\delta)} r} = D_{ka} e^{-ikr} \Big|_{z=t_2}. \quad (57)$$

Зв'язок між хвильовими векторами падаючої з аморфного шару хвилі k і хвилі в кристалі $K_{c0}^{(\delta)}$ можна одержати наступним чином. Нехай на аморфний шар з вакууму падає хвиля K , тоді її зв'язок з хвильовим вектором k в аморфному шарі визначатиметься виразом (16). Нехай хвиля з таким самим хвильовим вектором у вакуумі K падає на монокристалічну пластину. Тоді зв'язок хвильового век-

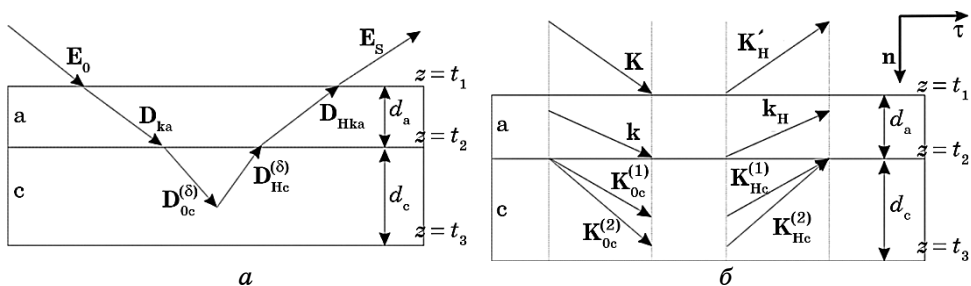


Рис. 3. Дифракція в двошаровій системі з аморфним і кристалічним шарами: схема для амплітуд (а), схема для хвильових векторів (б).

Fig. 3. Diffraction in two-layer system with amorphous and crystalline layers: scheme for amplitudes (a), scheme for the wave vectors (b).

тору \mathbf{K} в вакуумі і хвильових векторів в кристалі $\mathbf{K}_0^{(\delta)}$ буде визначатись виразом (43). Прирівнюючи (16) і (43), одержимо:

$$\mathbf{K}_{0c}^{(\delta)} = \mathbf{k} - K(\Delta_a - \Delta_{c\delta})\mathbf{n}, \quad (58)$$

де $\Delta_a = \chi_{0a}/(2\gamma_0)$.

Крайова умова для дифрагованої в кристалічному шарі хвилі на вихідній поверхні має вигляд:

$$\sum_{\delta} D_{\text{Hc}}^{(\delta)} e^{-i\mathbf{K}_{\text{Hc}}^{(\delta)}\mathbf{r}} = 0 \Big|_{z=t_3}, \quad (59)$$

Зв'язок між хвильовими векторами дифрагованої хвилі в кристалі і відповідної хвилі у вакуумі, згідно з (44), можна записати у вигляді:

$$\mathbf{K}_{\text{cH}}^{(\delta)} = \mathbf{K}_{\text{H}} + K\Delta_{c\delta}\mathbf{n} - (K\alpha_c / \gamma_{\text{H}})\mathbf{n}. \quad (60)$$

Підставляючи (58) в (57) і (60) в (59), з урахуванням (17) і (39) одержимо:

$$\begin{cases} D_{0c}^{(1)} e^{-iK\Delta_{c1}t_2} + D_{0c}^{(2)} e^{-iK\Delta_{c2}t_2} = E_0 e^{-iK\Delta_a d_a}, \\ c_1 D_{0c}^{(1)} e^{-iK\Delta_{c1}t_3} + c_2 D_{0c}^{(2)} e^{-iK\Delta_{c2}t_3} = 0. \end{cases} \quad (61)$$

Розв'язуючи систему (61) відносно $D_{0c}^{(1)}$ і $D_{0c}^{(2)}$, одержимо:

$$D_{0c}^{(\delta)} = (-1)^{\delta} E_0 e^{-iK\Delta_a d_a} \frac{c_{\delta} e^{-iK\Delta_{c\delta} d_c}}{c_1 e^{-iK\Delta_{c1} d_c} - c_2 e^{-iK\Delta_{c2} d_c}} e^{iK\Delta_{c\delta} t_2}. \quad (62)$$

Напишемо крайову умову для дифрагованої хвилі на межі аморфного і кристалічного шарів:

$$D_{\text{Hka}} e^{-i\mathbf{k}_{\text{H}}\mathbf{r}} = \sum_{\delta} D_{\text{Hc}}^{(\delta)} e^{-i\mathbf{K}_{\text{Hc}}^{(\delta)}\mathbf{r}} \Big|_{z=t_2}. \quad (63)$$

Використовуючи принцип взаємності, для взаємозв'язку хвильових векторів дифрагованих хвиль у вакуумі і в аморфному шарі, аналогічно до одержання (16), матимемо:

$$\mathbf{K}_{\text{H}} = \mathbf{k}_{\text{H}} - K\Delta_{\text{aH}}\mathbf{n}, \quad (64)$$

де $\Delta_{\text{aH}} = \chi_{0a}/(2\gamma_{\text{H}})$. Підставляючи (64) в (60), одержимо зв'язок між хвильовими векторами дифрагованих хвиль у кристалі і аморфному шарі:

$$\mathbf{K}_{\text{cH}}^{(\delta)} = \mathbf{k}_{\text{H}} - K(\Delta_{\text{aH}} - \Delta_{c\delta})\mathbf{n} - (K\alpha_c / \gamma_{\text{H}})\mathbf{n}. \quad (65)$$

Підставляючи (65) в (63), з урахуванням (39) і (62) одержимо:

$$D_{\text{Нка}} = \eta_{c2} e^{iK\Delta_{\text{н}t_2}} \sum_{\delta} c_{\delta} D_{0c}^{(\delta)} e^{-iK\Delta_{\text{с}t_2}}, \quad (66)$$

де тут і далі

$$\eta_{nj} = \exp(iK(\alpha_n / \gamma_{\text{н}})t_j). \quad (67)$$

Розглянемо крайову умову для дифрагрованої хвилі на вхідній поверхні двошарової системи:

$$E_{\text{с}} e^{-iK_{\text{н}r}} = D_{\text{Нка}} e^{-iK_{\text{н}r}} \Big|_{z=t_1}. \quad (68)$$

Підставляючи (64) в (68), з урахуванням (66) одержимо:

$$r_{\text{нас}}(t_2) = \frac{E_{\text{с}}}{\sqrt{b}E_0} = r_{\text{нс}}(t_2) \exp\left(-iK \frac{\chi_{0a}}{2\gamma}\right), \quad (69)$$

де $1/\gamma = 1/\gamma_0 + 1/|\gamma_{\text{н}}|$, $r_{\text{нс}}(t_2)$ дається виразом (50). Таким чином, вплив аморфного шару на поверхні на відбивну здатність кристалу зводиться лише до поглинання.

6. ДИФРАКЦІЯ В ДВОШАРОВІЙ КРИСТАЛІЧНІЙ СИСТЕМІ. МЕТОД ПІДСУМОВУВАННЯ АМПЛІТУД

На рисунку 4 показана схема дифракції в двошаровій кристалічній системі. Падаюча з вакууму пласка хвиля з амплітудою E_0 потрапляє в шар k . В кристалічному шарі k хвиля дифрагує з утворенням прямого променя $E_{0k}^{(1)}$, що далі проходить в шар d , і відбитого променя $E_{\text{нк}}^{(1)}$, який виходить у вакуум з амплітудою $E_{\text{н1}}$. Хвиля $E_{0k}^{(1)}$ дифрагує в шарі d з утворенням прямої $E_{0d}^{(1)}$ і відбитої $E_{\text{нд}}^{(1)}$ хвиль. Хвиля $E_{\text{нд}}^{(1)}$ потрапляє в шар k і знову дифрагує з утворенням відповідно прямої $E_{\text{нк}}^{(2)}$ і відбитої $E_{0k}^{(2)}$ хвиль. Пряма хвиля утворює на поверхні хвилю з амплітудою $E_{\text{н2}}$. Дифрагована в шарі k хвиля $E_{0k}^{(2)}$ знову потрапляє в шар d , і вказаний процес перерозсіання між шарами повторюється.

У випадку, коли шар k розсіює кінематично, можна враховувати лише процес однократного перерозсіання, оскільки амплітуда хвилі, розсіяної в шарі k , мала в порівнянні з розсіяною в шарі d . Тоді вираз для результуючої хвилі в вакуумі зводиться до появи екстинкційного множника при амплітуді розсіяваної в шарі d хвилі. Однак, коли розсіання в шарі k носить динамічний характер, врахування однократного перерозсіання між шарами недостатньо. В такому випадку слід враховувати повну багатократність перерозсіання між шарами.

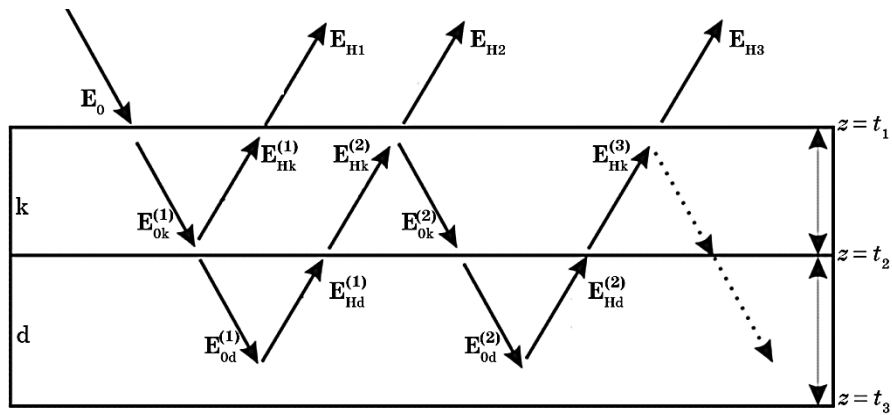


Рис. 4. Схема багатократного перерозсіювання при дифракції в двохшаровій системі з кристалічними шарами k і d .

Fig. 4. Scheme of multiple scattering under diffraction in two-layer system with crystalline layers k and d .

Амплітуда хвилі $E_{0k}^{(1)}$, що пройшла крізь шар k (див. рис. 4):

$$E_{0k}^{(1)} = E_0 r_{0k}. \quad (70)$$

Введемо позначення

$$\tilde{r}_{hk} = \sqrt{b} r_{hk}, \quad \tilde{r}_{hd} = \sqrt{b} r_{hd}. \quad (71)$$

Амплітуда дифрагрованої в шарі d хвилі:

$$E_{hd}^{(1)} = E_{0k}^{(1)} \tilde{r}_{hd}(t_2) = E_0 r_{0k} \tilde{r}_{hd}(t_2). \quad (72)$$

Амплітуда хвилі, що пройшла крізь шар d :

$$E_{0d}^{(1)} = r_{0d} E_{0k}^{(1)} = r_{0k} r_{0d} E_0 = E_{T1}. \quad (73)$$

Для амплітуди $E_{hk}^{(2)}$ необхідно користуватись виразом, аналогічним до (53), однак з врахуванням того, що у вказаному випадку вектор дифракції змінюється з \mathbf{H} на $-\mathbf{H}$. Позначимо таку амплітуду як $r_{0k}^{(-)}$, тоді для $E_{hk}^{(2)}$ одержимо:

$$E_{hk}^{(2)} = E_{hd}^{(1)} r_{0k}^{(-)} = E_0 r_{0k} \tilde{r}_{hd}(t_2) r_{0k}^{(-)} = E_{H2}. \quad (74)$$

Для дифрагрованої в шарі k хвилі можна записати:

$$E_{hk}^{(1)} = E_0 \tilde{r}_{hk}(t_1) = E_{H1}. \quad (75)$$

Таким чином, для дифрагованої хвилі у вакуумі, з урахуванням описаних вище амплітуд, з (74) і (75) одержимо:

$$E_{\text{H}}^{(2)} = E_{\text{H1}} + E_{\text{H2}} = E_0(\tilde{r}_{\text{Hk}}(t_1) + r_{0\text{k}}\tilde{r}_{\text{Hd}}(t_2)r_{0\text{k}}^{(-)}). \quad (76)$$

Розглянемо хвилю $E_{0\text{k}}^{(2)}$:

$$E_{0\text{k}}^{(2)} = E_{\text{Hd}}^{(1)}\tilde{r}_{\text{Hk}}^{(-)}(t_2) = E_0r_{0\text{k}}\tilde{r}_{\text{Hd}}(t_2)\tilde{r}_{\text{Hk}}^{(-)}(t_2), \quad (77)$$

де

$$\tilde{r}_{\text{Hk}}^{(-)} = \sqrt{b^{(-)}}r_{\text{Hk}}^{(-)} = (b)^{-1/2}r_{\text{Hk}}^{(-)}.$$

Для амплітуди $E_{\text{Hd}}^{(2)}$ можна одержати:

$$E_{\text{Hd}}^{(2)} = E_{0\text{k}}^{(2)}\tilde{r}_{\text{Hd}}(t_2) = E_0r_{0\text{k}}\tilde{r}_{\text{Hd}}(t_2)\tilde{r}_{\text{Hk}}^{(-)}(t_2)\tilde{r}_{\text{Hd}}(t_2). \quad (78)$$

Відповідно для $E_{0\text{d}}^{(2)}$ і $E_{0\text{d}}^{(3)}$ матимемо:

$$E_{0\text{d}}^{(2)} = E_{0\text{k}}^{(2)}r_{0\text{d}} = E_0r_{0\text{k}}r_{0\text{d}}(t_2)\tilde{r}_{\text{Hk}}^{(-)}(t_2)\tilde{r}_{\text{Hd}}(t_2) = E_{T2}, \quad (79)$$

$$E_{0\text{d}}^{(3)} = E_{0\text{k}}^{(3)}r_{0\text{d}} = E_0r_{0\text{k}}r_{0\text{d}}(t_2)\tilde{r}_{\text{Hk}}^{(-)}(t_2)\tilde{r}_{\text{Hd}}(t_2)\tilde{r}_{\text{Hk}}^{(-)}(t_2)\tilde{r}_{\text{Hd}}(t_2) = E_{T3}. \quad (80)$$

Хвиля $E_{\text{Hk}}^{(3)}$ має вигляд:

$$E_{\text{Hk}}^{(3)} = E_{\text{Hd}}^{(2)}r_{0\text{k}}^{(-)} = E_0r_{0\text{k}}\tilde{r}_{\text{Hd}}(t_2)\tilde{r}_{\text{Hk}}^{(-)}(t_2)\tilde{r}_{\text{Hd}}(t_2)r_{0\text{k}}^{(-)} = E_{\text{H3}}. \quad (81)$$

Таким чином, для трьох дифрагованих хвиль у вакуумі, згідно з (76) і (81), можна одержати:

$$E_{\text{H}}^{(3)} = E_{\text{H1}} + E_{\text{H2}} + E_{\text{H3}} = E_0[\tilde{r}_{\text{Hk}}(t_1) + r_{0\text{k}}\tilde{r}_{\text{Hd}}(t_2)r_{0\text{k}}^{(-)} + r_{0\text{k}}\tilde{r}_{\text{Hd}}(t_2)\tilde{r}_{\text{Hk}}^{(-)}(t_2)\tilde{r}_{\text{Hd}}(t_2)r_{0\text{k}}^{(-)}]. \quad (82)$$

Для трьох хвиль, що пройшли крізь двошарову систему, згідно з (73), (79) і (80), матимемо:

$$E_{\text{T}}^{(3)} = E_{T1} + E_{T2} + E_{T3} = E_0r_{0\text{k}}r_{0\text{d}}[1 + \tilde{r}_{\text{Hd}}(t_2)\tilde{r}_{\text{Hk}}^{(-)}(t_2) + (\tilde{r}_{\text{Hd}}(t_2)\tilde{r}_{\text{Hk}}^{(-)}(t_2))^2].$$

Продовжуючи враховувати перерозсіяння більших порядків, для n -го хвильового поля можна одержати:

$$E_{\text{H}}^{(n)} = E_0(\tilde{r}_{\text{Hk}}(t_1) + r_{0\text{k}}(\tilde{r}_{\text{Hd}}(t_2)\sum_{i=1}^{n-1}(\tilde{r}_{\text{Hd}}(t_2)\tilde{r}_{\text{Hk}}^{(-)}(t_2))^{i-1})r_{0\text{k}}^{(-)}), \quad (83)$$

$$E_{\text{T}}^{(n)} = E_0r_{0\text{k}}r_{0\text{d}}(1 + \sum_{i=1}^{n-1}(\tilde{r}_{\text{Hd}}(t_2)\tilde{r}_{\text{Hk}}^{(-)}(t_2))^i). \quad (84)$$

Враховуючи повну багатократність перерозсіяння між шарами ($n \rightarrow \infty$), підсумовуючи в (83) і (84) геометричні прогресії, можна одержати:

$$E_{\text{H}}^{(\infty)} = E_0 \left(\tilde{r}_{\text{Hk}}(t_1) + \frac{r_{0\text{k}} \tilde{r}_{\text{Hd}}(t_2) r_{0\text{k}}^{(-)}}{1 - \tilde{r}_{\text{Hd}}(t_2) \tilde{r}_{\text{Hk}}^{(-)}(t_2)} \right), \quad (85)$$

$$E_{\text{T}}^{(\infty)} = E_0 \frac{r_{0\text{k}} r_{0\text{d}}}{1 - \tilde{r}_{\text{Hd}}(t_2) \tilde{r}_{\text{Hk}}^{(-)}(t_2)}. \quad (86)$$

Амплітудний коефіцієнт відбивання для розглянутої двошарової системи:

$$r_{\text{H}}^{(n)} = E_{\text{H}}^{(n)} / (\sqrt{b} E_0). \quad (87)$$

З урахуванням (85) для (87) одержимо:

$$r_{\text{H}}^{(\infty)} = E_{\text{H}}^{(\infty)} / (\sqrt{b} E_0) = r_{\text{Hd}}(t_2) E_{\text{ext}} + r_{\text{Hk}}(t_1), \quad (88)$$

де

$$E_{\text{ext}} = \frac{r_{0\text{k}} r_{0\text{k}}^{(-)}}{1 - r_{\text{Hd}}(t_2) r_{\text{Hk}}^{(-)}(t_2)}. \quad (89)$$

Знайдемо зв'язок між амплітудними коефіцієнтами відбивання і проходження з від'ємним вектором дифракції і відповідними коефіцієнтами з додатним вектором дифракції. Враховуючи що

$$\mathbf{n}^{(-)} = -\mathbf{n}, \quad \mathbf{K}_0^{(-)} = \mathbf{K}_{\text{H}}, \quad \mathbf{K}_{\text{H}}^{(-)} = \mathbf{K}_0, \quad \alpha_{\text{k}}^{(-)} = b\alpha_{\text{k}}, \quad \zeta_{\text{k}}^{(-)} = 1 / \zeta_{\text{k}}, \quad (90)$$

одержимо:

$$\begin{aligned} \gamma_0^{(-)} &= \frac{\mathbf{K}_0^{(-)} \mathbf{n}^{(-)}}{K} = -\frac{\mathbf{K}_{\text{H}} \mathbf{n}}{K} = -\gamma_{\text{H}}, \quad \gamma_{\text{H}}^{(-)} = \frac{\mathbf{K}_{\text{H}}^{(-)} \mathbf{n}^{(-)}}{K} = -\frac{\mathbf{K}_0 \mathbf{n}}{K} = -\gamma_0, \\ b^{(-)} &= 1 / b, \quad y_{\text{k}}^{(-)} = y_{\text{k}}, \quad c_{\delta_{\text{k}}}^{(-)} = c_{\delta_{\text{k}}} / (b\zeta_{\text{k}}), \quad \Delta_{\delta_{\text{k}}}^{(-)} = \Delta_{\delta_{\text{k}}} - \frac{\chi_0}{2} \left(\frac{1}{\gamma_0} + \frac{1}{\gamma_{\text{H}}} \right), \\ t_i^{(-)} &= \mathbf{r}\mathbf{n}^{(-)} \Big|_{z=t_i} = -t_i, \quad d_{\text{k}}^{(-)} = t_1^{(-)} - t_2^{(-)} = t_2 - t_1 = d_{\text{k}}. \end{aligned} \quad (91)$$

Таким чином, для амплітудних коефіцієнтів одержимо:

$$r_{\text{Hk}}^{(-)} = \frac{r_{\text{Hk}}^0}{\zeta_{\text{k}} \eta_{\text{k}2}}, \quad r_{0\text{k}}^{(-)} = r_{0\text{k}} \exp \left(iK \frac{\chi_0}{2} \left(\frac{1}{\gamma_0} + \frac{1}{\gamma_{\text{H}}} \right) d_{\text{k}} \right). \quad (92)$$

Тоді вираз (88) можна записати у вигляді:

$$r_{\text{H}}^{(\infty)} = \eta_{\text{k1}} \frac{r_{\text{Hk}}^0 + (\eta_{\text{d2}} / \eta_{\text{k2}}) r_{\text{Hd}}^0 (r_{\text{Ok}}^2 e^{2i\rho_{\text{k}}} - (r_{\text{Hk}}^0)^2 / \zeta_{\text{k}})}{1 - (\eta_{\text{d2}} / (\zeta_{\text{k}} \eta_{\text{k2}})) r_{\text{Hk}}^0 r_{\text{Hd}}^0}, \quad (93)$$

$$\rho_{\text{k}} = \frac{K}{2} \left[\frac{\chi_{\text{Ok}}}{2} \left(\frac{1}{\gamma_0} + \frac{1}{\gamma_{\text{H}}} \right) + \frac{\alpha_{\text{k}}}{\gamma_{\text{H}}} \right] d_{\text{k}}, \quad r_{\text{HL}}^0 = r_{\text{HL}}(0),$$

де відбивна здатність $r_{\text{HL}}(t)$ шару L визначається виразом (50).

Множник E_{ext} в (88) описує вплив шару k на дифракцію в шарі d . При цьому, якщо шар k досить тонкий ($d_{\text{k}} \ll \Lambda$) і для r_{Hk} можна використати вираз (54), то вираз (89), з урахуванням співвідношення між амплітудними коефіцієнтами відбивання і проходження (106), можна записати у вигляді:

$$E_{\text{ext}} = E_{\text{a}} E_{\text{e}} E_{\text{m}}, \quad E_{\text{a}} = \exp(-iKd_{\text{k}} \chi_{\text{Ok}} / (2\gamma)), \quad (94)$$

$$E_{\text{e}} = \eta_{\text{d2}} (1 + (r_{\text{Hk}}^0)^2 e^{-2iA_{\text{k}} y_{\text{k}}} / \zeta_{\text{k}}), \quad E_{\text{m}} = (1 - (\eta_{\text{d2}} / (\zeta_{\text{k}} \eta_{\text{k2}})) r_{\text{Hk}}^0 r_{\text{Hd}}^0)^{-1}.$$

Отже, вплив шару k на дифракцію в шарі d відбувається через три механізми, відображені множниками у виразі (94). Перший

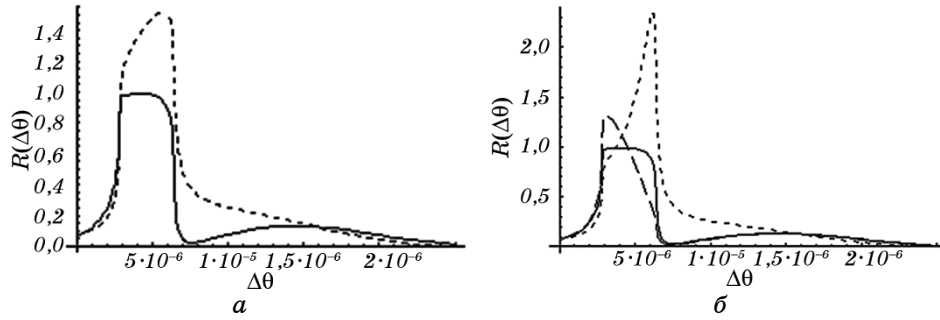


Рис. 5. Диференційна відбивна здатність двошарової кристалічної системи з малою нормальною деформацією в першому шарі: відбивна здатність з урахуванням всіх механізмів розсіяння в двошаровій системі (суцільна лінія), відбивна здатність з урахуванням лише поглинання в першому шарі (пунктирна лінія) (а); відбивна здатність з урахуванням всіх механізмів розсіяння в двошаровій системі (суцільна лінія), без врахування багатократного перерозсіяння між шарами (широкий пунктир), без врахування екстинкції (дрібний пунктир) (б).

Fig. 5. Differential reflectivity of two-layer crystalline system with small normal deformation in the first layer: reflectivity, that includes of all scattering mechanisms for two-layer system (solid line), reflectivity, that includes only absorption in the first layer (dotted line) (a); reflectivity, that includes of all scattering mechanisms in two-layer system (solid line), excluding multiple scattering between layers (dashed line), excluding extinction (dotted line) (b).

множник E_a відповідає за фотоелектричне поглинання в шарі k , другий множник E_e описує екстинкцію за рахунок дифракції в шарі k хвилі, падаючої на шар d . Третій множник, як видно із (83) і (85), описує повну багатократність перерозсіання між шарами d і k .

На рисунку 5 показано кутові залежності диференційної відбивної здатності в двошаровій кристалічній системі, в якій шар k відрізняється від шару d малою нормальною деформацією. Розрахунки проведено для рефлексу (440), випромінення MoK_{α} , товщина деформованого шару $t_k = 2$ мкм, добавка до кутової змінної за рахунок нормальної деформації $\alpha_d - \alpha_k = 5 \cdot 10^{-6}$. Як видно, вплив описаних вище механізмів екстинкції та багатократності перерозсіання є суттєвим. При цьому, при збільшенні величини деформації такий вплив зменшується, і навпаки.

7. ДИФРАКЦІЯ В ДВОШАРОВІЙ КРИСТАЛІЧНІЙ СИСТЕМІ. МЕТОД КРАЙОВИХ УМОВ

Крайові умови для амплітуд (рис. 6) на межах поділу шарів такі:

$$\sum_{\delta} D_{0k}^{\delta} e^{-iK_{0k}^{\delta} r} = E_0 e^{-iKr} \Big|_{z=t_1}, \quad (95)$$

$$E_S e^{-iK'_H r} = \sum_{\delta} D_{Hk}^{\delta} e^{-iK_{Hk}^{\delta} r} \Big|_{z=t_1}, \quad (96)$$

$$\sum_{\delta} D_{0d}^{\delta} e^{-iK_{0d}^{\delta} r} = \sum_{\delta} D_{0k}^{\delta} e^{-iK_{0k}^{\delta} r} \Big|_{z=t_2}, \quad (97)$$

$$\sum_{\delta} D_{Hk}^{\delta} e^{-iK_{Hk}^{\delta} r} = \sum_{\delta} D_{Hd}^{\delta} e^{-iK_{Hd}^{\delta} r} \Big|_{z=t_2}, \quad (98)$$

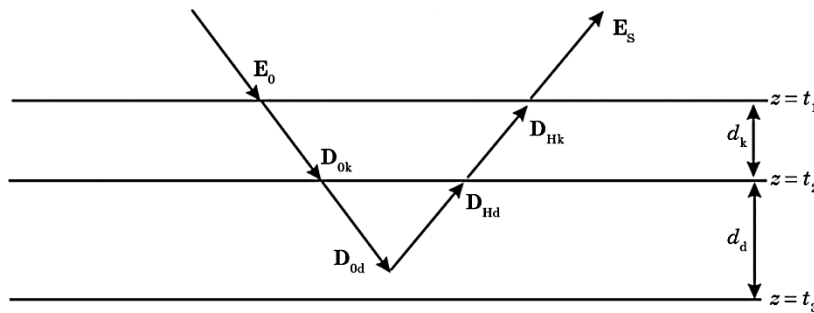


Рис. 6. Амплітуди хвильового поля в двошаровій кристалічній системі.

Fig. 6. Amplitudes of wave field in two-layer crystalline system.

$$\sum_{\delta} D_{\text{Hd}}^{\delta} e^{-iK_{\text{Hd}}^{\delta} r} = 0 \Big|_{z=t_3}. \quad (99)$$

Тут і далі індексами k і d позначатимемо величини в першому і другому шарах відповідно. З умов (95) і (97)–(99) напишемо наступну систему рівнянь для визначення амплітуд $D_{0k}^{(1)}$, $D_{0k}^{(2)}$, $D_{0d}^{(1)}$ і $D_{0d}^{(2)}$:

$$\begin{cases} D_{0k}^{(1)} e^{-iK_{\Delta k_1 t_1}} + D_{0k}^{(2)} e^{-iK_{\Delta k_2 t_1}} = E_0, \\ D_{0d}^{(1)} e^{-iK_{\Delta d_1 t_2}} + D_{0d}^{(2)} e^{-iK_{\Delta d_2 t_2}} = D_{0k}^{(1)} e^{-iK_{\Delta k_1 t_2}} + D_{0k}^{(2)} e^{-iK_{\Delta k_2 t_2}}, \\ \eta_{k2} (c_{k1} D_{0k}^{(1)} e^{-iK_{\Delta k_1 t_2}} + c_{k2} D_{0k}^{(2)} e^{-iK_{\Delta k_2 t_2}}) = \eta_{d2} (c_{d1} D_{0d}^{(1)} e^{-iK_{\Delta d_1 t_2}} + c_{d2} D_{0d}^{(2)} e^{-iK_{\Delta d_2 t_2}}), \\ c_{d1} D_{0d}^{(1)} e^{-iK_{\Delta d_1 t_3}} + c_{d2} D_{0d}^{(2)} e^{-iK_{\Delta d_2 t_3}} = 0. \end{cases} \quad (100)$$

Введемо для скорочення записів позначення:

$$e_{k\delta n} = e^{-iK_{\Delta k\delta} t_n}, \quad e_{d\delta n} = e^{-iK_{\Delta d\delta} t_n}.$$

Тоді систему рівнянь (100) можна записати у вигляді:

$$\begin{pmatrix} e_{k11} & e_{k21} & 0 & 0 \\ e_{k12} & e_{k22} & -e_{d12} & -e_{d22} \\ \eta_{k2} c_{k1} e_{k12} & \eta_{k2} c_{k2} e_{k22} & -\eta_{d2} c_{d1} e_{d12} & -\eta_{d2} c_{d2} e_{d22} \\ 0 & 0 & c_{d1} e_{d13} & c_{d2} e_{d23} \end{pmatrix} \begin{pmatrix} D_{0k}^{(1)} \\ D_{0k}^{(2)} \\ D_{0d}^{(1)} \\ D_{0d}^{(2)} \end{pmatrix} = \begin{pmatrix} E_0 \\ 0 \\ 0 \\ 0 \end{pmatrix}. \quad (101)$$

З (101) для $D_{0k}^{(1)}$ і $D_{0k}^{(2)}$ можна одержати:

$$D_{0k}^{(1)} = E_0 \frac{e_{k2k}}{e_{k11}} \frac{(\eta_{d2} \sqrt{b} r_{\text{Hd}}^0 - c_{k2} \eta_{k2})}{(c_{k1} e_{k1k} - c_{k2} e_{k2k})(\eta_{k2} - (\eta_{d2} / \zeta_k) r_{\text{Hk}}^0 r_{\text{Hd}}^0)}, \quad (102)$$

$$D_{0k}^{(2)} = E_0 \frac{e_{k1k}}{e_{k21}} \frac{c_{k1} \eta_{k2} - \eta_{d2} \sqrt{b} r_{\text{Hd}}^0}{(c_{k1} e_{k1k} - c_{k2} e_{k2k})(\eta_{k2} - (\eta_{d2} / \zeta_k) r_{\text{Hk}}^0 r_{\text{Hd}}^0)}, \quad (103)$$

де

$$e_{d\delta d} = e_{d\delta 3} / e_{d\delta 2} = e^{-iK_{\Delta d\delta} (t_3 - t_2)} = e^{-iK_{\Delta d\delta} d_d}, \quad e_{k\delta k} = e_{k\delta 2} / e_{k\delta 1} = e^{-iK_{\Delta k\delta} (t_2 - t_1)} = e^{-iK_{\Delta k\delta} d_k},$$

d_k і d_d — товщини шарів k і d відповідно.

Тепер використаємо крайову умову (96), з якої, з урахуванням (39) і (44), можна одержати:

$$E_S = \eta_{k1} c_{k1} D_{0k}^{(1)} e^{-iK_{\Delta k_1 t_1}} + \eta_{k1} c_{k2} D_{0k}^{(2)} e^{-iK_{\Delta k_2 t_1}}. \quad (104)$$

Підставляючи (102) і (103) в (104), одержимо:

$$r_H = \frac{E_S}{\sqrt{b}E_0} = \eta_{k1} \frac{r_{Hk}^0 + r_{Hd}^0 (\eta_{d2} / \eta_{k2}) (1 - 2y_k r_{Hk}^0 / \sqrt{\zeta_k})}{1 - (\eta_{d2} / (\zeta_k \eta_{k2})) r_{Hk}^0 r_{Hd}^0}. \quad (105)$$

Враховуючи справедливість рівності

$$r_{0k}^2 e^{2i\rho_k} = (r_{Hk}^0)^2 / \zeta_k - 2y_k r_{Hk}^0 / \sqrt{\zeta_k} + 1, \quad (106)$$

вираз (105) зводиться до (93).

8. ВИСНОВКИ

В результаті проведеного аналізу механізмів формування статистичної динамічної картини Бреґгового розсіяння у багатошарових системах на основі використання побудованої моделі такого розсіяння для визначаючих вказані механізми головних складових цих систем, а саме для двошарових кристалічних систем з аморфним поверхневим шаром, встановлено наступне.

Теоретичні моделі, які описують розсіяння у системі шарів шляхом складання амплітуд дифрагованих окремо, наприклад, у кінематично та динамічно розсіювальних шарах хвиль, можуть використовуватись лише у випадках, коли товщина кінематично розсіювального шару складає лише декілька відсотків від довжини екстинкції.

При цьому, коли вказана товщина досягає або перевищує десятки відсотків від довжини екстинкції, суттєвими стають ефекти екстинкції за рахунок кінематичної дифракції у першому шарі променя, що проходить у другий шар, а також ефекти багатократності перерозсіяння між шарами.

В останньому випадку необхідно використовувати створену у представленій роботі статистичну динамічну модель, яка враховує відмічені ефекти шляхом розв'язання загального хвильового рівняння для Рентґенових хвиль в середовищі з використанням відповідних крайових умов як на поверхні двошарової системи, так і на межі поділу шарів.

При цьому дана модель при зростанні товщини першого шару до величин, рівних або більших довжини екстинкції, описує ефекти повного пригнічення екстинкцією як променя, що проходив при менших товщинах у другий шар в області кутів Бреґгової дифракції, так і ефектів багатократного перерозсіяння між шарами, якщо бреґґівські кути розсіяння у шарах однакові, а дефекти у шарах відсутні, тобто в такому випадку працює лише перший шар.

Поява дефектів та дифузного розсіяння може суттєво змінити всі обговорені параметри, умови та ефекти, але відповідну теоретичну модель буде представлено в окремій роботі.

ЦИТОВАНА ЛІТЕРАТУРА

1. P. F. Fewster, *Rep. Prog. Phys.*, **59**: 1339 (1996).
2. U. Pietsch, V. Holy, and T. Baumbach, *High-Resolution X-Ray Scattering. From Thin Films to Lateral Nanostructures* (New York: Springer-Verlag: 2004).
3. A. M. Afanasev, M. V. Kovalchuk, E. K. Kovev, and V. G. Kohn, *phys. status solidi (a)*, **42**: 415 (1977).
4. В. Б. Молодкин, М. В. Ковальчук, И. М. Карнаухов, В. Ф. Мачулин, В. Е. Сторижко, Э. Х. Мухамеджанов, А. И. Низкова, С. В. Лизунова, Е. Н. Кисловский, С. И. Олиховский, Б. В. Шелудченко, С. В. Дмитриев, Е. С. Скакунова, В. В. Молодкин, В. А. Бушуев, Р. Н. Кютт, Б. С. Карамурзов, Т. И. Оранова, Ю. П. Хапачев, *Основы динамической высокоразрешающей дифрактометрии функциональных материалов* (Нальчик: Кабардино-Балкарский университет: 2013).
5. В. Б. Молодкин, М. В. Ковальчук, И. М. Карнаухов, В. Е. Сторижко, С. В. Лизунова, С. В. Дмитриев, А. И. Низкова, Е. Н. Кисловский, В. В. Молодкин, Е. В. Первак, А. А. Катасонов, Е. С. Скакунова, Б. С. Карамурзов, А. А. Дышеков, А. Н. Багов, Т. И. Оранова, Ю. П. Хапачев, *Основы интегральной многопараметрической диффузодинамической дифрактометрии* (Нальчик: Кабардино-Балкарский университет: 2013).
6. Э. Г. Пинскер, *Рентгеновская кристаллооптика* (Москва: Наука: 1982).
7. Л. И. Даценко, В. Б. Молодкин, М. Е. Осинский, *Динамическое рассеяние рентгеновских лучей реальными кристаллами* (Киев: Наукова думка: 1988).
8. С. В. Дмитриев, Р. В. Лехняк, В. Б. Молодкин, В. В. Лизунов, Л. Н. Скапа, Е. С. Скакунова, С. В. Лизунова, С. И. Олиховский, Е. Г. Лень, Н. Г. Толмачёв, Б. В. Шелудченко, Е. В. Фузик, Г. О. Велиховский, *Металлофиз. новейшие технол.*, **37**, № 9: 1169 (2015).
9. T. Vreeland, A. Dommann, C.-J. Tsai, and M.-A. Nicolet, *Mat. Res. Soc. Symp. Proc.*, **130**: 1989 (2011).

REFERENCES

1. P. F. Fewster, *Rep. Prog. Phys.*, **59**: 1339 (1996).
2. U. Pietsch, V. Holy, and T. Baumbach, *High-Resolution X-Ray Scattering. From Thin Films to Lateral Nanostructures* (New York: Springer-Verlag: 2004).
3. A. M. Afanasev, M. V. Kovalchuk, E. K. Kovev, and V. G. Kohn, *phys. status solidi (a)*, **42**: 415 (1977).
4. V. B. Molodkin, M. V. Koval'chuk, I. M. Karnaukhov, V. F. Machulin, V. E. Storizhko, E. Kh. Mukhamedzhanov, A. I. Nizkova, S. V. Lizunova, E. N. Kislovskiy, S. I. Olikhovskiy, B. V. Sheludchenko, S. V. Dmitriev, E. S. Skakunova, V. V. Molodkin, V. V. Lizunov, V. A. Bushuev, R. N. Kyutt, B. S. Karamurzov, A. A. Dyshekov, T. I. Oranova, and Yu. P. Khapachev, *Osnovy Dinamicheskoy Vysokorazreshayushchey Difraktometrii Funktsional'nykh Materialov* [Fundamentals of Dynamical High-Resolution Diffractometry of Functional Materials] (Nal'chik: Kabardino-Balkarskiy Universitet: 2013) (in Russian).
5. V. B. Molodkin, M. V. Koval'chuk, I. M. Karnaukhov, V. E. Storizhko, S. V. Lizunova, S. V. Dmitriev, A. I. Nizkova, E. N. Kislovskii, V. V. Molodkin,

- E. V. Pervak, A. A. Katasonov, V. V. Lizunov, E. S. Skakunova, B. S. Karamurzov, A. A. Dyshekov, A. N. Bagov, T. I. Oranova, and Yu. P. Khapachev, *Osnovy Integral'noy Mnogoparametricheskoy Diffuznodinamicheskoy Difraktometrii* [Fundamentals of Integrated Multiparametric Diffuse-Dynamical Diffractometry] (Nal'chik: Kabardino-Balkarskiy Universitet: 2013) (in Russian).
6. Z. G. Pinsker, *Rentgenovskaya Kristallografiya* [X-ray Crystal Optics] (Moscow: Nauka: 1982) (in Russian).
 7. L. I. Datsenko, V. B. Molodkin, and M. E. Osinovskiy, *Dinamicheskoe Rasseyaniye Rentgenovskikh Luchey Real'nymi Kristallami* [Dynamical X-Ray Scattering by Real Crystals] (Kiev: Naukova Dumka: 1988) (in Russian).
 8. S. V. Dmitriev, R. V. Lekhnyak, V. B. Molodkin, V. V. Lizunov, L. M. Skapa, O. S. Skakunova, S. V. Lizunova, S. I. Olikhovskii, E. G. Len, M. G. Tolmachyov, B. V. Sheludchenko, K. V. Fuzik, and G. O. Velikhovskii, *Metallofiz. Noveishie Tekhnol.*, **37**, No. 9: 1169 (2015) (in Russian).
 9. T. Vreeland, A. Dommann. C.-J. Tsai, and M.-A. Nicolet, *Mat. Res. Soc. Symp. Proc.*, **130**: 1989 (2011).